

Investigation of the effect of diazinon on CatSper 1 gene expression, sperm motility and germinal epithelium thickness in adult male mice

Hamid Reza Faragenezhad¹, Shabnam Mohammadi², Seyed Morteza Seifati³, Atena Mansouri⁴, Reyhaneh Sadat Mahmoodian⁵

1. Msc. Student of Biology, Medical Biotechnology Research Center, Ashkezar Branch, Islamic Azad University, Ashkezar, Yazd, Iran. ORCID ID: 0000-0003-0789-8047

2. Assistant Professor of Anatomy, Neurogenic Inflammation Research Center, Mashhad University of Medical Sciences, Mashhad, Iran (Corresponding Author). Tel: 05138002459, Email: mohammadi@ums.ac.ir. ORCID ID: 0000-0002-2352-286X

3. Assistant Professor of Biology, Medical Biotechnology Research Center, Ashkezar Branch, Islamic Azad University, Ashkezar, Yazd, Iran. ORCID ID: 0000-0002-8505-5267

4. PhD. Student of Nanotechnology, Immunology Research Center, Mashhad University of Medical Sciences, Mashhad, Iran. ORCID ID: 0000-0003-0456-675X

5. PhD. Student of Immunology, Immunology Research Center, Mashhad University of Medical Sciences, Mashhad, Iran. ORCID ID: 0000-0002-0003-9015

ABSTRACT

Background and Aim: Genetic changes and mutations in the genes involved in spermatogenesis can occur by environmental and congenital factors. Considering, the extensive use of diazinon in the farms and because we found no study on the effects of diazinon on the expression of CatSper1 gene, a key element of male fertility, we decided to perform this study in order to determine the effects of different doses of diazinon on CatSper1 gene expression, sperm motility and thickness of seminiferous tubules in adult male mice.

Materials and Methods: Twenty-four adult male Balb/c mice were randomly divided into four groups. The control group did not receive any injection. The sham group received diazinon solvent. Diazinon1 group received 7.5 mg/kg and, diazinon group 2 received 30 mg/kg of diazinon intraperitoneally, once a day for 2 weeks. After 35 days, we studied the sperms from the molecular and histological aspects and sperm motility was evaluated.

Results: Sperm motility was significantly decreased in diazinon 1 (P-value = 0.001) and diazinon 2 (P-value = 0.001) groups compared to that in the control group. Gene expression in diazinon group 1 and diazinone group 2 (P-value = 0.002) was significantly lower than that in the control group. Histological examination also showed that diazinon treatment reduced germinal epithelium thickness and led to vacuole formation and degeneration. Epithelial thickness was significantly decreased in diazinon group 1 (P-value = 0.003) and diazinon group 2 (P-value = 0.006) in comparison to that in the control group.

Conclusion: Diazinon affects male fertility by reduction in sperm motility and degenerative changes in germinal epithelium. It also, decreases expression of CatSper1 gene, a key gene in fertility.

Keywords: CatSper, Sperm, Diazinon, Mouse

Received: Feb 3,2019

Accepted: Nov 9,2019

How to cite the article: Hamid Reza Faragenezhad, Shabnam Mohammadi, Seyed Morteza Seifati, Atena Mansouri, Reyhaneh Sadat Mahmoodian. Investigation of the effect of diazinon on CatSper 1 gene expression, sperm motility and germinal epithelium thickness in adult male mice. SJKU 2020; 24 (6): 68-78

Copyright © 2018 the Author (s). Published by Kurdistan University of Medical Sciences. This is an open access article distributed under the terms of the Creative Commons Attribution-Non Commercial License 4.0 (CCBY-NC), where it is permissible to download, share, remix, transform, and buildup the work provided it is properly cited. The work cannot be used commercially without permission from the journal

بررسی اثر دیازینون بر بیان ژن 1 CatSper، تحرک اسپرم و ضخامت اپی تلیوم ژرمنیال در موش نر بالغ

^۵ حمیدرضا فیضزاده، شنیم محمدی^۲، سید هم تپه^۳، سفته^۴، آتنا منصوری^۵، رحانه سادات محمودیان^۶

۱. دانشجوی کارشناسی ارشد زیست‌شناسی، مرکز تحقیقات زیست‌فناوری پژوهشگاه آزاد اسلامی، واحد اشکذر، دانشگاه آزاد اسلامی، اشکذر، بیزد، ایران. کد ارگید: ۸۰۴۷-۸۰۷۸۹-

۲. استادیار آناتومی، مکر تحقیقات التهاب نوروثینک، دانشگاه علوم پزشکی مشهد، مشهد، ایران، تلفن ثابت: ۰۵۱-۳۸۰۰۴۵۹، پست الکترونیک: mohammadish@mums.ac.ir

حکایت

زمینه و هدف: تغییرات زنیکی و موتابیون ژن‌های مؤثر در اسپرماتوژنر از جمله عواملی هستند که می‌توانند ناشی از عوامل محیطی، مادرزادی و غیره باشد. با توجه به استفاده وسیع دیازینون در مزارع و با توجه به جستجویی که ما انجام دادیم تاکنون اثرات دیازینون بر بیان ژن CatSper1 که از ژن‌های کلیدی در باروری مرد است بررسی نشده است. لذا هدف از تحقیق حاضر تعیین اثرات دوزهای مختلف دیازینون بر بیان ژن CatSper1، تحرک اسپرم و ضخامت توبول‌های اسپرم ساز در موش نر بالغ بود.

روش بررسی: در یک مطالعه تجربی، ۲۴ سرموش نر نژاد cBalb بالغ به طور تصادفی به چهار گروه تقسیم شدند. گروه کنترل تزریقی دریافت نکرد. گروه شم حلال دیازینون را دریافت کرد. گروه دیازینون ۱ دوز $7/5\text{mg/kg}$ دیازینون و گروه دیازینون ۲ دوز 30 mg/kg دیازینون را به صورت داخل صفاتی به مدت ۲ هفته و روزانه یک بار دریافت کردند. پس از ۳۵ روز، بررسی مولکولی، هستولوژیکی، و تحرک اسیم انجام شد.

یافته‌ها: تحرک اسپرم در گروه دیازینون ۱ ($P = 0.001$) و دیازینون ۲ ($P = 0.001$) نسبت به گروه کنترل کاهش معنی داری داشت. میزان بیان ژن در گروه دیازینون ۱ و گروه دیازینون ۲ ($P = 0.002$) نسبت به گروه کنترل کاهش معنی داری داشت. بررسی هیستولوژیکی نیز نشان داد که تیمار با دیازینون باعث کاهش در ضخامت اپی تلیوم ژرمنال، ایجاد واکوئل ها و دژنراسیون می شوند. ضخامت اپی تلیوم در گروه دیازینون ۱ ($P = 0.003$) و گروه دیازینون ۲ ($P = 0.006$) نسبت به گروه کنترل کاهش معنی داری داشت.

نتیجه گیری: دیازینون با کاهش تحرک اسپرم و ضخامت اپیتیلیوم ژرمنیال بر باروری اثر می‌گذارد. به علاوه بیان ژن CatSper1 ژنی کلیدی در باروری مرد را کاهش می‌دهد.

كلمات كليدي: CatSper، اسپرم، دیازینون، موش

وصول مقاله: ۹۷/۱۱/۱۴ اصلاحیه نهایی: ۹۸/۸/۳ پذیرش:

مقدمه

باروری اسپرم دارند و شامل خانواده ژنی CatSper1 تا CatSper4 است. ژن‌های CatSper β و γ به طور اختصاصی در بیضه بیان می‌شوند (۱۷-۲۲). ایمونو فلورسنت غیرمستقیم نشان داد که پروتئین‌های CatSper 1، 2 در ناحیه دم اسپرم و پروتئین‌های CatSper 3، 4 عمدتاً در ناحیه آکروزومی سر اسپرم قرار دارند (۲۱ و ۱۹)؛ β دارای دو تکرار بین غشایی و γ CatSper دارای یک تکرار بین غشایی است و در ناحیه اصلی دم اسپرم قرار دارند (۲۲ و ۲۱).

مطالعاتی که روی اثر آلاینده‌ها و فاکتورهای محیطی بر بیان ژن و پروتئین CatSper صورت گرفته است، نشان می‌دهد که در معرض قرارگیری با فلزاتی مانند سرب (۲۳)، نیکل (۲۴)، کadmیوم (۲۵) و یا دیوکسین (۲۶) باعث کاهش کیفیت اسپرم، کاهش شدید در بیان ژن و پروتئین CatSper می‌شوند. با توجه به استفاده وسیع دیازینون به عنوان حشره‌کش و با توجه به جستجویی که ما انجام دادیم تاکنون اثرات دیازینون به عنوان یکی از فاکتورهای محیطی بر بیان پروتئین CatSper که از ژن‌های کلیدی در باروری مرد است صورت نگرفته است. لذا هدف از تحقیق حاضر تعیین اثرات دوزهای مختلف دیازینون بر بیان ژن CatSper1، تحرک اسپرم و ضخامت اپی تیلوم ژرمینال در موش نر بالغ بود.

روش بررسی

نوع مطالعه تجربی بود که برای انجام آن، از ۲۴ سر موش بالغ ۲-۳ ماهه با نژاد Balb/c که از خانه حیوانات دانشکده پزشکی مشهد خریداری شد، استفاده کردیم. حجم نمونه بر اساس فرمول زیر، با در نظر گرفتن سطح اطمینان ۹۵٪ و توان ۸۰ درصد، ۴ موش برای هر گروه تعیین شد که بر اساس فرمول تعديل برای ۴ گروه به ۶ موش در هر گروه

بر اساس تحقیقات انجام شده، حدود نیمی از مشکلات در زوج‌های نابارور مربوط به مردان است (۱). مطالعات نشان می‌دهند که تغییرات ژنتیکی و موتاسیون ژن‌های مؤثر در اسپرماتوژن از جمله این عوامل هستند که می‌توانند ناشی از عوامل محیطی، مادرزادی و ... باشد (۲ و ۳). دیازینون یکی از پرصرف‌ترین سموم ارگانوفسفره است که به طور وسیعی برای کنترل آفات در مزارع کشاورزی و باغات و نیز برای کنترل حشرات خانگی به کار می‌رود (۲ و ۳). سموم ارگانوفسفره در حین سماپاشی از طریق پوست، مخاط، چشم و به صورت خوراکی و استنشاقی وارد بدن می‌شود. علاوه بر آلدگی شغلی افراد از طریق غذا یا محیط می‌توانند در معرض دیازینون قرار گیرند. میزان تأثیر آن به میزان دوز و مدت تماس با آن بستگی دارد. دیازینون ممکن است حداقل تا یک ماه در محیط باقی بماند (۴-۶). تماس با دیازینون باعث کاهش تعداد و تحرک اسپرم (۷) و افزایش اسپرم با مرفلوژی غیر طبیعی می‌شود (۸ و ۹)، به علاوه، دیازینون باعث آتروفی و نامنظم شدن لوله‌های اسپرم ساز، کاهش سلول‌های اسپرماتوگونی و لایدیگ و نیز کاهش سطح آنزیم‌های آنتی اکسیدانی می‌شود (۱۰ و ۱۱). دیازینون با تأثیر بر محور هیپوتالاموس، هیپوفیز باعث کاهش سطح هورمون‌های مردانه تستوسترون، LH و FSH می‌گردد (۳) و خطر ابتلا به ستردم‌های ژنتیکی را افزایش می‌دهد (۱۲ و ۱۳).

از طرفی تنظیم غلظت کلسیم درون‌سلولی برای اسپرماتوژن، بلوغ اسپرم، واکنش آکروزومی (۱۴ و ۱۳)، طرفیت‌پذیری (۱۵ و ۱۳) و تحرک اسپرم اهمیت زیادی دارد (۱۶). یکی از این مکانیسم‌ها، برای ورود کلسیم از فضای خارج سلولی به داخل اسپرم، کانال‌های کلسیمی هستند. از جمله کانال کلسیمی وابسته به ولتاژ خانواده ژنی CatSper است که نقش کلیدی در تحرک اسپرم و قدرت

سلول‌های متحرک شمارش شد. اسپرم‌های بی تحرک و اسپرم‌هایی که حرکت در جا دارند و به سمت جلو پیش نمی‌روند، به عنوان اسپرم غیرمتحرک در نظر گرفته شد. اسپرم‌هایی که حرکت پیش‌روند (Progressive) دارند، به عنوان اسپرم متحرک در نظر گرفته شد. در نهایت از فرمول زیر استفاده گردید (۲۷).

افزایش یافت (۲۷). لذا حجم نمونه کل ۲۴ موش تعیین گردید.

$$n = 1 + 2C \left(\frac{s}{d} \right)^2$$

$$= 1 + 2 * 7.85 \left(\frac{0.212}{0.556} \right)^2$$

$$\approx 4$$

$$n' = n\sqrt{g - 1} = 4\sqrt{4 - 1} \approx 6$$

موسها تحت شرایط استاندارد از نظر غذایی و میکروبی متحرک نگهداری شدند. موشها $\frac{100}{6}$ تعداد اسپرم متحرک آب و غذا داشتند. موشها به چهار گروه ۶ تعبییر بکل مسیروف تصادفی ساده تقسیم شدند. شش سر موش گروه کنترل تزریقی دریافت نکرد. حال دیازینون (نرمال سالین) به گروه شم تزریق شد. ۶ سر موش گروه دیازینون ۱ دوز $7/5 \text{ mg/kg}$ دیازینون و شش سر موش گروه دیازینون ۲ دوز 30 mg/kg دیازینون به صورت داخل صفاقی و به صورت روزانه یک بار به مدت ۱۴ روز دریافت کردند. موشها به روش در رنگی مهره‌های گردن کشته و بیضه و اپیدیدیم آنها خارج شد. همچنین RNA از بیضه چپ استخراج شد و بیان ژن پروتئین CatSper1 پس از انجام تکنیک Real-Time PCR بررسی شد. جهت بررسی تحرک اسپرم ناحیه انتهایی اپیدیدیم جدا گردید. در ضمن رنگ آمیزی هماتوکسیلین انوزین بافت بیضه راست جهت بررسی ضخامت اپی تلیوم ژرمینال انجام شد.

بررسی بیان ژن CatSper با تکنیک Real- Time PCR: استخراج RNA، با توجه به پروتکل شرکت سیناژن انجام شد. سپس cDNA با کیت فرماتاس تهیه شد. پس از انجام واکنش رونویسی معکوس، به منظور تکثیر قطعه موردنظر واکنش PCR روی محصول RT-PCR انجام و ژل‌ها عکس‌برداری شدند. در این مطالعه بیان نسبی ژن‌های واکنش PCR به صورت نیمه‌كمی با به کارگیری CatSper1 سایبرگرین و ژن β -Actin مورد اندازه گیری قرار گرفت. واکنش PCR توسط دستگاه Real-Time PCR انجام و برنامه زیر راهنمایی Applied Biosystems شد: تعداد مناسب سیکل PCR به صورت:

۹۵ درجه سانتی گراد	Initiation step	
	۱۰ دقیقه	۱ سیکل
۹۵ درجه سانتی گراد	Denaturation step	
	۲۵ ثانیه	۴۰ سیکل
۶۰ درجه سانتی گراد	Annealing step	
	۳۰ ثانیه	۴۰ سیکل
۷۲ درجه سانتی گراد	Extention step	
	۳۰ ثانیه	۱ سیکل

برای آنالیز داده‌ها از روش pfaffi و همکاران مطابق فرمول زیر استفاده شد (۲۸).

بررسی تحرک اسپرم: در هنگام نمونه گیری دم اپیدیدیم جدا شده و در محلول بافر فسفات قرار گرفت. سپس اپیدیدیم به وسیله یک قیچی استریل قطعه قطعه شده و به مدت ۳۰-۴۵ دقیقه در انکوباتور (دماهای ۳۷ درجه سانتی گراد و ۵ درصد CO_2) قرار گرفت تا اسپرم‌ها از داخل قطعات خرد شده، خارج گردند. بعد از خارج‌سازی از انکوباتور، آنالیز اسپرم طبق دستور العمل سازمان بهداشت جهانی (WHO) و به کمک لام ثنویار انجام شد (۲۷). به این صورت که در چهار مربع گوش و یک مربع مرکز

آنالیز آماری: بعد از اطمینان از نرمال بودن توزیع داده‌ای (ANOVA) کمی، با استفاده از تحلیل واریانس یک‌طرفه (ANOVA) و آزمون تعقیبی توکی تجزیه و تحلیل لازم انجام شد. نرم‌افزار مورد استفاده؛ SPSS نسخه ۲۰ بود، سطح معناداری ۵ درصد برای مقایسه گروه‌ها در نظر گرفته شد.

یافته‌ها

بررسی درصد تحرک اسپرم در گروه‌های مختلف آزمون: در مقایسه کلی تفاوت معنی‌داری بین میزان تحرک اسپرم گروه‌های مورد مطالعه مشاهده شد ($P = 0.001$). نتایج آنالیز آماری نشان داد که تحرک اسپرم در گروه‌های دیازینون ۱ ($P = 0.001$)، نسبت به گروه کنترل کاهش معنی‌داری داشت. به علاوه، تحرک اسپرم در گروه دیازینون ۲ ($P = 0.001$)، نسبت به گروه کنترل نیز کاهش چشمگیری داشت. همچنین بین گروه دیازینون ($P = 0.001$) با گروه شم تفاوت معنی‌داری مشاهده شد. به علاوه، آزمون آماری اختلاف معنی‌داری بین میزان تحرک اسپرم در گروه دیازینون ۲ و شم نشان داد ($P = 0.001$).

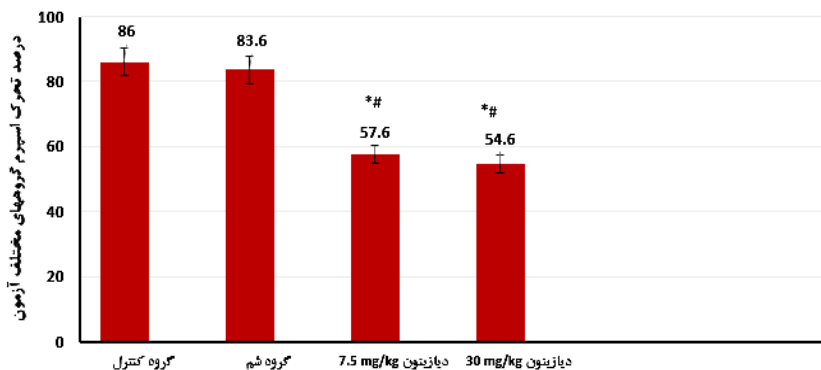
$$\text{Ratio} = \frac{(E_{\text{target}})^{\Delta CT_{\text{target}} (\text{control-sample})}}{(E_{\text{ref}})^{\Delta CT_{\text{ref}} (\text{control-sample})}}$$

مطالعه هیستولوژیکی ضخامت اپیتلیوم ژرمنیال: آماده‌سازی بافت‌ها شامل مراحل تشییت، آبگیری با الکل، شفاف‌سازی با گربل، آغشتگی با پارافین، قالب‌گیری و سپس برش گیری انجام شد. برش‌های به ضخامت ۵ میکرومتر تهیه و رنگ‌آمیزی با هماتوکسیلین و اوزین (H&E) صورت گرفت. پس از عکس‌برداری از مقاطع بیضه گروه‌های مختلف با لنز $10\times$ ، میانگین ارتفاع اپیتلیوم ژرمنیال بیضه با استفاده از فرمول زیر محاسبه شد (۲۹ و ۲۷).

$$H = \frac{V_V}{S_V}$$

 V_V $S_V =$

ΣI مجموع نقاط برخوردهای خطوط پروب با سطح لومینال اپیتلیوم ژرمنیال، Σp مجموع نقاط برخورد کرده با بافت بیضه و l/p طول خط پروب در مقیاس واقعی بافت.



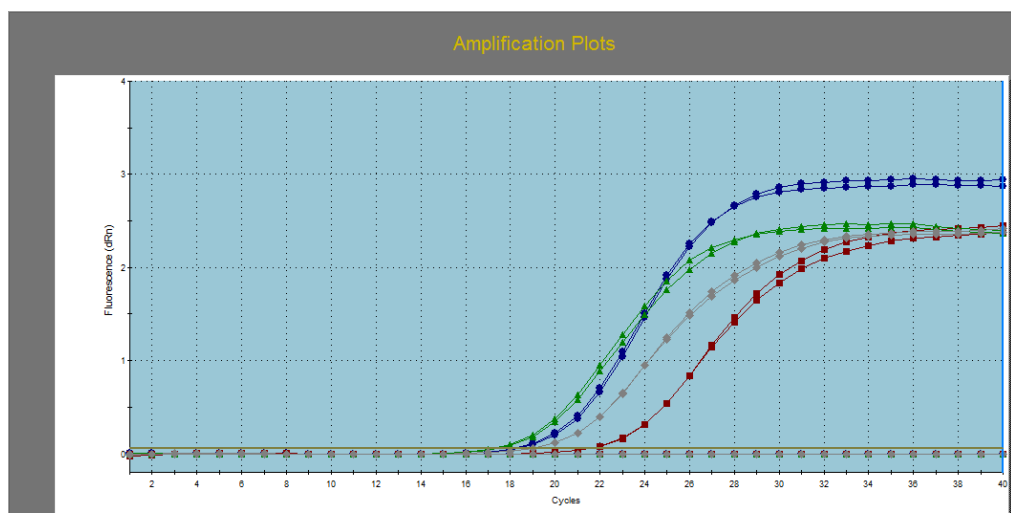
نمودار ۱. درصد تحرک اسپرم در گروه‌های مختلف آزمون

*: تفاوت معنی‌داری با گروه کنترل ($p < 0.05$).

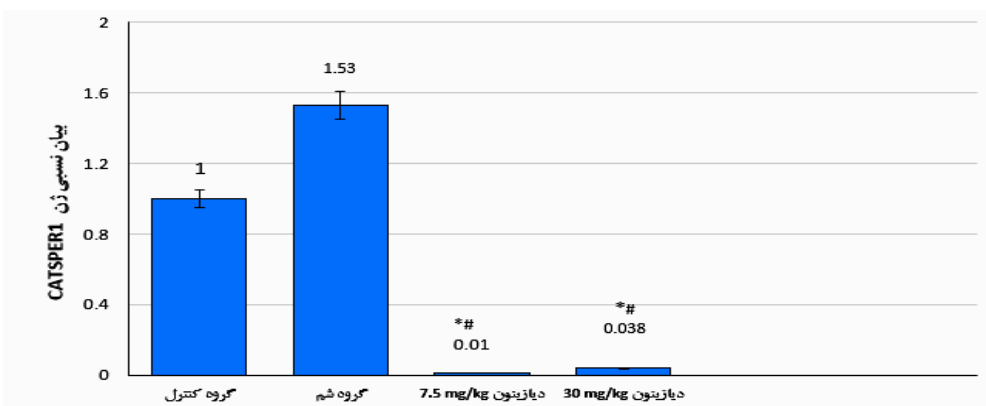
#: تفاوت معنی‌داری با گروه شم ($p < 0.05$).

کنترل کاهش معنی داری داشت. به علاوه، بیان ژن در گروه دیازینون ۲ (P=0.003) نسبت به گروه کنترل کاهش چشمگیری داشت. همچنین بیان ژن CatSper1 در گروه های دیازینون ۱ (P=0.001)، و دیازینون ۲ (P=0.001) نسبت به گروه شم کاهش معنی داری داشت.

بررسی میزان بیان ژن CatSper1 در گروه های مختلف آزمون: میزان بیان ژن CatSper1 پس از دریافت دیازینون، در موش های بالغ توسط تکنیک Real-Time PCR مورد بررسی قرار گرفت (شکل ۱). در مقایسه کلی؛ تفاوت معنی داری بین میزان بیان ژن گروه های مورد مطالعه مشاهده شد (P=0.001). نتایج آنالیز آماری نشان داد که بیان ژن در گروه دیازینون ۱ (P=0.002)، نسبت به گروه



شکل ۱. تصویر منحنی real-time PCR به دست آمده از نمونه ها، که مقایسه بین گروه ها را نشان می دهد.

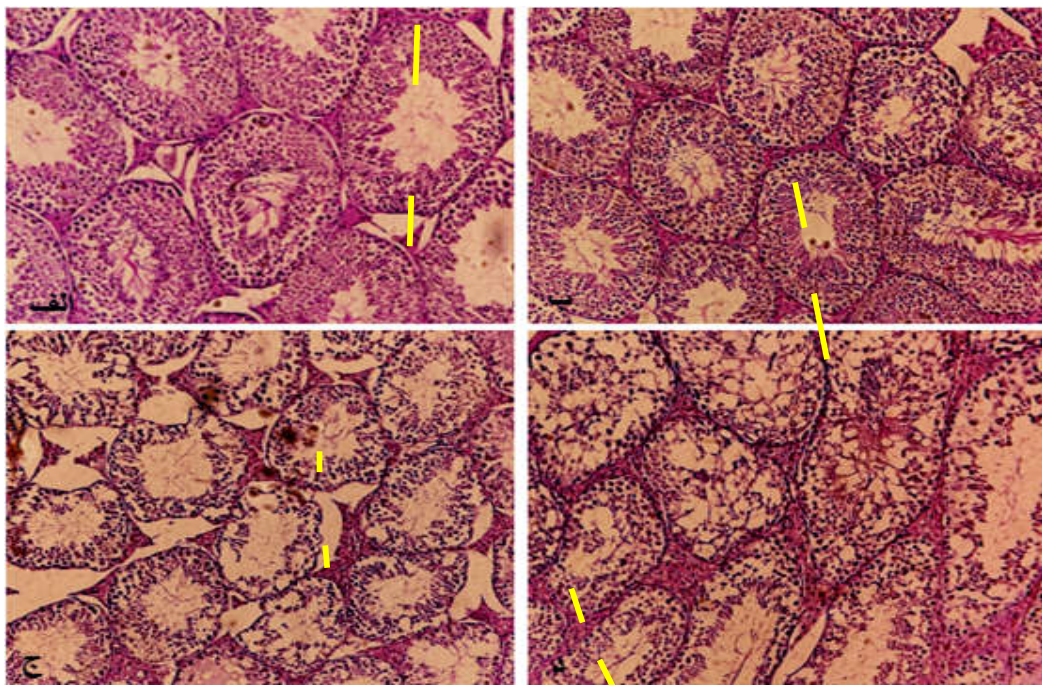


نمودار ۲. میزان بیان ژن CatSper1 در گروه های مختلف آزمون

*: تفاوت معنی داری با گروه کنترل ($P < 0.05$).

#: تفاوت معنی داری با گروه شم ($P < 0.05$).

بررسی ضخامت اپی تلیوم ژرمنیال در گروه های مختلف آزمون: به منظور بررسی اثر دیازینون بر بافت بیضه، مقاطع بافتی از بیضه موش های بالغ تهیه شد. در مشاهدات میکروسکوپی، بیضه موش های گروه کنترل و شم ظاهر طبیعی داشته، شامل مجاري منی ساز و بافت بینابینی طبیعی بودند. لوله های اسپرم ساز حاوی اسپرم و اپی تلیوم آن يك دست و حاوی اسپرم بود (شکل ۲ الف و ب). در بیضه موش های گروه دریافت کننده دیازینون کاهش در اسپرماتید و اسپرم بالغ، واکوئلیزاسیون و نکروز در اپی تلیوم ژرمنیال به چشم می خورد. به علاوه، فضای بینابینی افزایش یافته بود (شکل ۲ ج-د). در مقایسه کلی؛ تفاوت معنی داری بین میزان ضخامت اپی تلیوم ژرمنیال گروه های مورد مطالعه مشاهده شد ($P = 0.001$). همان طور که در جدول ۱ ملاحظه می کنید، ضخامت اپی تلیوم در گروه دیازینون ۱ ($P = 0.003$)، نسبت به گروه کنترل کاهش معنی داری داشت. ضخامت اپی تلیوم در گروه دیازینون ۲ ($P = 0.006$) نیز نسبت به گروه کنترل کاهش معنی داری داشت. همچنین بین کاهش در ضخامت اپی تلیوم ژرمنیال در گروه های دیازینون ۱ ($P = 0.01$) و دیازینون ۲ ($P = 0.005$) نسبت به گروه شم مشاهده شد.



شکل ۲. تصویر مقطع عرضی لوله‌های اسپرم ساز به ترتیب در گروه کنترل (الف)، گروه شم (ب)، گروه دیازینون ۱ (ج) و گروه دیازینون ۲ (د). رنگ آمیزی هماتوکسیلین و ائوزین. بزرگنمایی $\times 200$ × ضخامت اپی تلیوم در شکل با رنگ زرد مشخص شده است

جدول ۱. ضخامت اپی تلیوم ژرمنیال در گروه‌های مختلف آزمون

گروه دیازینون	گروه دیازینون ۱	گروه شم	گروه کنترل
$^{##} ۳۸/۶۷ \pm ۱/۷۹$	$^{##} ۴۱/۲۶ \pm ۵/۲۵$	$۶۳/۵۵ \pm ۴/۳۹$	$۶۳/۷۱ \pm ۳/۴۶$

*: تفاوت معنی‌داری با گروه کنترل ($p < 0.05$).

#: تفاوت معنی‌داری با گروه شم ($p < 0.05$).

کیفیت اسperm و افزایش استرس اکسیداتیو شد(۲۳). همین محققان گزارش کردند تجویز نیکل و کادمیوم نیز بر بیان ژن CatSper مؤثر است(۲۴). Wang و همکاران (۲۰۱۷) گزارش کردند که دوزهای ۰، ۱۰، ۵۰ و ۲۵۰ میکرومول کلرید کادمیوم باعث کاهش زنده‌ماندن، تحرک و واکنش اکروزومی در اسperm شد. بعد از دریافت کلرید کادمیوم ژن‌های CatSper1، ۳ و ۴ کاهش یافتدند ولی ژن CatSper 2 تغییری محسوسی نداشت(۲۵).

نچفی و همکاران (۲۰۱۰) mg/kg ۷۰ دیازینون را به مدت ۶۰ روز به صورت خوراکی به موش‌های صحرایی بالغ دادند. نتایج نشان داد که دیازینون باعث آسیب به لوله‌های اسperm ساز، آتروفی و نامنظم شدن آنها و نیز کاهش قطر و ضخامت اپی تلیوم لوله‌های اسperm ساز شد. به علاوه ادم بافتی در ناحیه زیر کپسول بیضه و بافت بینایین مشاهده شد(۱۰). سازگار این مطالعه، در تحقیق حاضر تزریق دیازینون باعث کاهش ضخامت اپی تلیوم ژرمینال شد.

نتیجه گیری

با جستجویی که ما انجام دادیم تاکنون مطالعه‌ای در مورد اثرات دیازینون بر بیان ژن CatSper انجام نشده است. بهتر بود در این پژوهش بیان پروتئین CatSper1 توسط ایمونو‌هیستوشیمی و یا وسترن بلاست بررسی می‌شد که به محققین برای مطالعات آتی پیشنهاد می‌شود. به علاوه، بررسی اثر دیازینون بر بیان دیگر ژن‌های خانواده CatSper پیشنهاد می‌گردد. نتیجه مطالعه حاضر نشان داد که دیازینون با کاهش تحرک اسperm و تغییرات دژنراتیو در اپی تلیوم ژرمینال بر باروری جنس نر اثر می‌گذارد. به علاوه بیان ژن CatSper1 را که از ژن‌های کلیدی باروری است کاهش می‌باید.

تشکر و قدردانی

بحث

نتایج مطالعه حاضر نشان داد که در صد تحرک اسperm پس از تجویز دیازینون کاهش چشمگیری یافت. میزان این کاهش وابسته به دوز دریافتی دیازینون بود. جورسایی و همکاران (۲۰۰۵)، تأثیر سوموم هینوزان و دیازینون بر پارامترهای اسperm را در یک مرکز ناباروری در حالت In vitro بررسی کردند. نتایج نشان داد که این سوموم باعث کاهش تعداد و تحرک اسperm می‌شوند. این اثرات وابسته به دوز نبوده ولی با گذشت زمان تغییر می‌کند(۷). در مطالعه دیگری Okamura و همکاران (۲۰۰۹) گزارش کردند که دریافت دوز ۳ mg/kg دیازینون به مدت ۹ هفته باعث ایجاد قطره سیتوپلاسمی در سر اسperm، افزایش اسperm شکسته و کاهش تحرک اسperm می‌شود(۸).

نتایج مطالعه Adamkovicova و همکاران (۲۰۱۶) نشان داد که دوز ۴۰ mg/kg دیازینون و دوز ۳۰ mg/kg دیازینون باعث افزایش اسperm با شکل غیرطبیعی و کاهش تحرک اسperm می‌شود(۹). Adamkovicova و همکاران (۲۰۱۶) گزارش کردند که پس از تجویز ۴۰ mg/kg دیازینون، اسperm با مرفلوژی غیرطبیعی افزایش یافت. به علاوه، تحرک اسperm کاهش یافت(۱۱). سازگار با تحقیقات بالا، در مطالعه حاضر نیز تزریق دیازینون باعث کاهش در تحرک اسperm شد.

در تحقیق حاضر کاهش معنی‌داری در بیان ژن CatSper1 در گروه‌های دریافت‌کننده دوز ۷/۵ mg/kg و ۳۰ mg/kg نسبت به گروه کنترل مشاهده شد. از بین ژن‌های CatSper 1-4 CatSper 1-4 می‌شود و از تنظیم ژنی قوی تری برخوردار است. محمدی و همکاران (۲۰۱۷) اثرات تجویز ۶۰ میلی گرم سرب و ۱/۲۵ میلی گرم جیوه را در موش‌ها بررسی کردند. نتایج نشان داد که هر دو فلز سنگین باعث کاهش بیان ژن‌های CatSper 1, 2 می‌شود که این اثرات در مورد جیوه خیلی شدیدتر بود. به علاوه تجویز این دو ماده باعث کاهش

دانشجوی کارشناسی ارشد زیست شناسی سلولی و مولکولی
در دانشگاه آزاد اسلامی واحد اشکذر به شماره
۹۱۱۰۳۴۰۶۲ است.

نویسنده‌گان مقاله بر خود لازم می‌دانند از کارکنان محترم
آزمایشگاه مرکزی دانشکده پزشکی مشهد تشکر کنند. این
مقاله مستخرج از پایان‌نامه آقای حمیدرضا فرج نژاد

References

1. Hamidabadi HG, Pasbakhsh P, Amidi F, Soleimani M, Forouzandeh M, Sobhani A. Functional Concentrations of BMP4 on Differentiation of Mouse Embryonic Stem Cells to Primordial Germ Cells. *Int J Fertil Steril.* 2011;5(2):104-9.
2. Annelien Massart, Willy Lissens, Herman Tournaye, Katrien Stouffs. Genetic causes of spermatogenic failure. *Asian J Androl.* 2012; 14(1): 40-48.
3. Piña-Guzmán B, Solís-Heredia MJ, Quintanilla-Vega B. Diazinon alters sperm chromatin structure in mice by phosphorylating nuclear protamines. *Toxicol Appl Pharmacol.* 2005 15;202(2):189-98.
4. Perry MJ, Venners SA, Barr DB, Xu X. Environmental pyrethroid and organophosphorus insecticide exposures and sperm concentration. *Reprod Toxicol.* 2007; 23: 113-8.
5. Wang D, Singhaseemanon N, Goh KS. A review of diazinon use, contamination in surface waters, and regulatory actions in California across water years 1992-2014. *Environ Monit Assess.* 2017;189(7):310.
6. Taghavi R, Tavakoli Tabasi K, Mogharabian N, Asadpour A, Golchian A, Mohamadi S, Ataran Kabiri A. The Effect of Acupuncture on Relieving Pain after Inguinal Surgeries. *Korean J Pain.* 2013; 26(1): 46-50.
7. Jor Saraei G, Beiki A, Yousef Nia Pasha Y, Alizadeh Navaei R. The in vitro effects of Hinosan and Diazinon on human sperm parameters. *JBUMS.* 2005; 7 (2):30-34
8. Okamura A, Kamijima M, Ohtani K, Yamanoshita O, Nakamura D, Ito Y, Miyata M, Ueyama J, Suzuki T, Imai R, Takagi K, Nakajima T. Broken sperm, cytoplasmic droplets and reduced sperm motility are principal markers of decreased sperm quality due to organophosphorus pesticides in rats. *J Occup Health.* 2009;51(6):478-87.
9. Adamkovicova M, Toman R, Martiniakova M, Omelka R, Babosova R, Krajcovicova V1, Grosskopf B, Massanyi P. Sperm motility and morphology changes in rats exposed to cadmium and diazinon. *Reprod Biol Endocrinol.* 2016;14(1):42.
10. GR Najafi, S Salami, A Karimi. The effect of diazinon on testicular tissue in adult male rat: a histological study. *J Urmia Univ Med Sci.* 2010; 20 (4):313-319
11. Adamkovicova M, Toman R, Martiniakova M, Omelka R, Babosova R, Krajcovicova V, Grosskopf B, Massanyi P. Sperm motility and morphology changes in rats exposed to cadmium and diazinon. *Reprod Biol Endocrinol.* 2016;14(1):42.
12. Povey AC. Gene-environmental interactions and organophosphate toxicity. *Toxicology.* 2010;278(3):294-304.
13. Chávez JC, De la Vega-Beltrán JL, José O1, Torres P, Nishigaki T, Treviño CL, Darszon A. Acrosomal alkalization triggers Ca²⁺ release and acrosome reaction in mammalian spermatozoa. *J Cell Physiol.* 2018;233(6):4735-4747.
14. Beltrán C, Treviño CL, Mata-Martínez E, Chávez JC, Sánchez-Cárdenas C, Baker M, et al. Role of Ion Channels in the Sperm Acrosome Reaction. *Adv Anat Embryol Cell Biol.* 2016;220:35-69.
15. Jin SK, Yang WX. Factors and pathways involved in capacitation: how are they regulated? *Oncotarget.* 2017 10;8(2):3600-3627.

16. Parodi J. Motility, viability, and calcium in the sperm cells. *Syst Biol Reprod Med.* 2014;60(2):65-71.
- 17- Quill TA, Sugden SA, Rossi KL, Doolittle LK, Hammer RE, Garbers D. A sperm ion channel required for sperm motility and male fertility. *Nature.* 2003;413:603-9
18. Ren D, Navarro B, Perez G, Jackson AC, Hsu S, Shi Q, et al. A sperm ion channel required for sperm motility and male fertility. *Nature* 2001; 413: 603-9 .
19. Quill TA, Sugden SA, Rossi KL, Doolittle JK, Hammer RE, Garbers DL. Hyperactivated sperm motility driven by CatSper2 is required for fertilization. *Proc Natt Acad Sci.* 2003; 100: 14869 -74.
20. Loble A, Pierron V, Reynolds L, Allen L, Michalovich D. Identification of human and mouse CatSper3 and CatSper4 genes: characterization of a common interaction domain evidence for expression in testis. *Reprod Biol Endocrinol* 2003; 1: 53-68.
21. Liu J, Xia J, Cho KH, Clapham DE, Ren D. CatSper beta, a novel transmembrane protein in the CatSper channel complex. *J Biol Chem* 2007; 282:18945-52.
22. Wang H, Liu J, Cho KH, Ren D. A novel, single, transmembrane protein CATSPERG is associated with CATSPER1 channel protein. *Biol Reprod* 2009; 81:539-44.
23. Mohammadi Sh, Golamin M, Mohammadi M, Mansouri A, Mahmoodian R, Attari S, et al. Down-regulation of CatSper 1 and CatSper 2 genes by lead and mercury. *Environ Toxicol Pharmacol.* 2018; 59:82-6.
24. Mohammadi S, Ghelamin M, Mansouri A, Mahmoodian RS, Babazadeh B, Kebriaei SM, et al. Effect of cadmium and nickel on expression of CatSper 1 and 2 genes in mice, *Toxin Reviews*, 2018; 37(3): 216-222, DOI: 10.1080/15569543.2017.1350192
25. Wang HF, Chang M, Peng TT, Yang Y, Li N, Luo T, et al. Exposure to Cadmium Impairs Sperm Functions by Reducing CatSper in Mice. *Cell Physiol Biochem.* 2017;42(1):44-54.
26. Mohammadi S, Rahmani F, Hasanian SM, Beheshti F, Akbari Oryani M, Ebrahimzadeh A, Farzadfar S. Effects of dioxin on testicular histopathology, sperm parameters, and CatSper2 gene and protein expression in Naval Medical Research Institute male mice. *Andrologia.* 2019; 11(51):1-7.
27. Attari S, Mohammadi S, Ebrahimzadeh A, Hosseinzadeh H, Soukhtanloo M, Rajabzadeh A. Effects of thymoquinone on sperm parameters, apoptosis, testosterone level, and oxidative stress in a mouse model of D-galactose-induced aging. *Pharm Sci.* 2018; 24(3): 180-186.
28. Pfaffl MW. A new mathematical model for relative quantification in real-time RT-PCR. *Nucleic Acids Res.* 2001; 1-29.
29. Mohammadi S. Protective Effect of N-Acetyl Cysteine Against Formaldehyde-Induced Neuronal Damage in Cerebellum of Mice. *Pharmaceutical sciences.* 2014; 20: 61-65.